

扶正生津湯이 放射線 照射 副作用에 미치는 影響

金鍾吳*. 趙鍾寬**

I. 緒 論

西洋醫學의 인癌治療方法으로는 手術, 放射線治療, 化學療法, 免疫療法 등이 있는데^{1,2)}. 그 중 放射線治療는 免疫機能低下로 因한 感染症의 發生과 消化器 및 骨髓抑制등의 副作用이 問題點으로 대두되고 있어^{2,3)} 正常組織을 保護하면서 副作用을 最小화하고자 하는 研究가 활발히 進行되고 있다⁴⁻¹¹⁾.

韓醫學에서 癌과 관련된 내용은 B.C 3世紀頃에 著述된 內經에 石瘕, 腸覃, 積聚 등¹²⁾으로 記錄된 이래 歷代醫書에서는 癥瘕, 鼓脹, 瘤病, 痂癬, 瘰疽, 瘻瘤, 痞塊, 血瘀, 反胃, 噫膈, 乳巖, 石疽, 石癰 등¹³⁻²⁰⁾으로 多樣하게 表現되어 나름대로의 原因 및 治療法들이 제시되고 있다.

放射線 照射에 의한 副作用은 韓醫學의 으로는 “火熱毒邪”로 인한 津液과 氣血의 損傷 및 脾胃, 肝腎 機能失調^{14,21,22)}로 보고 清熱解毒, 生津潤燥, 養補氣血, 健脾和胃, 滋補肝腎, 活血化瘀 등의 治療法을 活用하고 있다^{13,21-30)}.

放射線療法과 韓方藥物併用에 關한 研究를 살펴보면 李 등³¹⁾은 補中益氣湯과 四六湯으로 放射線 照射 後의 脾臟細胞增殖效果를 觀察하였으며, 金³²⁾은 加味地黃湯, 加味四君子湯, 加味君子地黃湯으로 脾臟 免疫細胞變化와

jejunum의 組織學的變化를 觀察하여 放射線副作用 減少效果를 報告하였다. 이외에 十全大補湯^{26,33)}, 茯苓甘草湯²⁶⁾, 小柴胡湯^{26,33)}, 扶正解毒沖劑²¹⁾, 補中益氣湯^{31,34)}, 歸脾湯³⁵⁾, 人參養榮湯³⁴⁾, 扶正增效方^{36,37)}, 希力新沖劑²¹⁾ 등의 藥物에 依한 放射線副作用 減少와 治療效果增進作用이 報告되어 있다.

扶正生津湯은 大田大學校 附屬 韓方病院 癌크리닉에서 放射線治療시에 나타나는 各種副作用 減少를 目的으로 활용되고 있는 放射線 1號方³⁸⁾에 補氣의 目的으로 黃芪를 增量한 것으로, 沙蔴麥門冬湯을 基本方으로 石斛, 桂杞子, 黃芪, 鷄血藤, 紅花, 竹茹, 砂仁 등이 加味된 處方이다.

이에 著者는 扶正生津湯의 放射線副作用 減少效果를 檢證하기 為하여 血液變化, 免疫細胞類型에 미치는 效果, duodenum, jejunum, ileum의 組織學的變化 등을 測定해 본 結果有意性 있는 結論을 얻었기에 報告하는 바이다.

II. 實 驗

1. 材 料

1) 藥材

本 實驗에 使用한 藥材는 大田大學校 附屬 韓方病院에서 購入한 後 精選하여 使用하였으며, 處方은 大田大學校 附屬 韓方病院 處方集

* 동국대학교 한의과대학 내과학교실

** 대전대학교 한의과대학 내과학교실

³⁸⁾에 준하였고 1貼의 内容과 用량은 다음과 같다.

Prescription of Bujeongsaengjintang(BST)

韓 藥	生 藥 名	用量(g)
黃 茜	Astragali Radix	8.0
沙 蘿	Adenophorae Radix	4.0
白 芍	Atractylodis macrocephala Rhizoma	4.0
雞 血 藤	Spatholobi Caulis	4.0
枸 杞 子	Lycii Fructus	4.0
天 花 粉	Trichosanthis Radix	4.0
麥 門 冬	Liriope Tuber	4.0
石 斧	Dendrobii Herba	4.0
麥 莽 炒	Hordei Fructus Germiniatus	4.0
鷄 內 金	Galli stomachichum Corium	4.0
川 菖	Cnidii Rhizoma	4.0
紅 花	Carthami Flos	2.0
砂 仁	Amomi Fructus	2.0
竹 茭	Bambusae caulis in Taeniam	2.0
大 蔡	Jujubae Fructus	8.0
Total amounts		62.0

2) 動 物

動物은 4주령의 ICR(International Cancer Research, U.S.A.) 및 Balb/C 雄性 생쥐를 韓國化學研究所에서 공급받아 實驗當日까지 固形飼料(항생제 무첨가, 삼양사료 Co.)와 물을 충분히 供給하고 室溫 $22\pm2^{\circ}\text{C}$ 를 계속 維持하면서 2 주일간 實驗室 環境에 適應시킨 後 實驗에 使用하였다.

3) 試藥 및 機器

試藥은 RPMI 1640, fetal bovine serum (FBS), dulbecco's phosphate buffered saline (DPBS-A), glycerol, bromophenol blue, Tris base, boric acid, EDTA, agaroses, 3-[4,5-dimethylthiazol-2-yl]-2, 5-diphenyl-tetrazoliumbromide (MTT), sodium hydroxide, formaldehyde, lysophosphatidic acid, trypan blue, phenol red, sodium azide 및 isopropanol 등은 Sigma 제품, ethanol, HCl은

Merck 제품, sodium bicarbonate는 Gibco 제품을 각각 사용하였다.

機器는 CO₂ incubator (Vision scientific Co., Model VS-9108 MS), clean bench (Vision scientific Co., KMC-14001), centrifuge (Beckman Co., GS-6R), inverted microscope (Nikon Co, Japan), bright microscope (UFX-DX, Nikon), Liner accelerator (Varian Co, U.S.A.), ELISA-reader (Emax, U.S.A.), FACScan (Becton Dickinson, U.S.A.), rotary vacuum evaporator (Büchi 461), autoclave (Hirayama, Japan), micro-pipet (Gilson, U.S.A.), autostill WG25 (Japan), camera (601S, Nikon) 및 syringe filter (0.25μm, Falcon) 등을 使用하였다.

2. 方 法

1) 檢液의 製造

扶正生津湯 5貼 分量(310g)을 각각 3000ml round flask에 蒸溜水 2000ml와 함께 넣은 다음 冷却器를 附着시키고 2時間 동안 加熱하여 濾過한 濾液을 rotary vacuum evaporator (Büchi 461)에서 減壓 濃縮하였고, 이 round flask를 -84°C deep freezer (Sanyo, Japan)에서 24시간 동안 放置하고 freeze dryer (Eyela, Japan)로 12시간을 凍結 乾燥하여 87.9g의 粉末을 얻어, 檢液으로 製造하여 使用하였다. 動物 實驗時에는 生理食鹽水에 溶解시켜 使用하였으며, 細胞毒性 實驗時에는 RPMI 1640 free medium에 溶解시켜 syringe filter (0.25μm, Falcon)로 濾過하여 使用하였다.

2) 放射線 照射

흰쥐가 움직이지 않게 제작된 아크릴상자에 넣어 고정시키고, 放射線은 線形加速기 (liner accelerator, Varian Co, U.S.A.) 6MV-X선을 使用하였으며, 조사야(field size)는 35cm × 35cm, source-surface-distance(SSD)는 100cm 거리로 하였다. 6MV-X선은 皮下 1.5cm 깊이에서 최

대신량(build-up)이 형성됨으로 아크릴상자 前後面에 1.5cm 두께의 人體組織 등가물질인 bolus를 부착하여 쥐 表面에 均一하게 照射되도록 하였다. 放射線 照射量의 決定은 放射線의 露出에 의해서 細胞의 壞死가 심하지 않아 染色體異狀 및 SCE를 가장 잘 觀察할 수 있는 것으로 보고된 선량 범위로 50cGy~500cGy에서 癌治療 目的 등으로 가장 많이 사용되는 200cGy를 基準으로 하였고 반복적으로 전신 조사됨을 고려하여 선정하였다. 放射線은 대량 2문 조사로 각각 20cGy, 40cGy, 60cGy를 全身 照射하였으며, 이때 선량률(dose-rate)은 3cGy/min이다.

3) 白血球數, 血小板數 및 赤血球數에 미치는 影響 測定

Balb/C 8마리를 1군으로 하여 放射線 照射前 3日과 照射 後 3日間 檢液(46.8mg/20g/day)을 生리식염수 0.2ml에 녹여 zonde를 이용하여 經口投與 後 Balb/C를 pentothal sodium(30mg/kg, 중의제약)으로 마취하고 미리 heparin이 들어있는 1회용 주사기(23G×1¼, Samwoo Co.)로 심장 천자하여 혈액을 채취하고 血小板數, 白血球數, 赤血球數를 Finio法³⁹⁾에 準하여 Minos-ST로 测定하였다.

4) FACS에 의한 脾臟 免疫細胞 變化測定

(1) 脾臟 淋巴球 懸濁液 造製

Balb/C 8마리를 1군으로 하여 放射線 照射前 3日과 照射 後 3日間 檢液(46.8mg/20g/day)을 生리식염수 0.2ml에 녹여 zonde를 이용하여 經口投與 後 Balb/C를 cervical dislocation으로 致死시킨 후 脾臟을 摘出하여 脾臟 淋巴球 懸濁液을 製造하였다. 細胞 處理 및 融光染色用 緩衝液으로는 Ca²⁺과 Mg²⁺이 들어 있지 않은 staining buffer를 사용하였다. 摘出한 脾臟을 100 mesh(sigma)에 올려놓고 주사기 피스톤 뒷부분으로 가볍게 문질러 細胞을 粉碎하였다. 15ml conical tube(Becton dickinson,

U.S.A.)에 옮겨 약 5분간 放置하여 細胞 덩어리를 沈澱시킨 후 上層液을 取해 3회 洗滌하고 0.83% NH₄Cl 溶液을 넣고 37°C에서 5분간 incubation시켜 赤血球를 溶血시켰다. 다시 2회 洗滌하고 RPMI 1640-10% FBS(Sigma)로 5×10⁶cells/ml가 되도록 稀釋하였다(Scheme 1).

(2) 免疫 融光染色(immunofluorescence staining)

免疫 融光染色은 全 過程을 0~4°C에서 實시하였고, 배양한 脾臟 세포를 회수하여 PBS로 3회 세척한 후 5ml FACS tube (Becton Dickinson, U.S.A.)에 0.3ml의 staining buffer를 넣고 vortex한 후 원심분리(1300rpm, 5min)하였다. 각각의 1차 脱체 culture suspension을 100μl 씩을 5ml FACS tube에 넣고 vortex한 후 40분간 比色에서 반응시켰다. 사용한 1차 脱체는 3회 세척 후, fluorescein isothiocyanate (FITC)-conjugated goat anti-rat Ig F(ab)₂ fragment 1:100 (Tago, U.S.A.) 회색액 50μl을 가하여 40분간 반응시키고, 3회 세척 후 0.3ml staining buffer를 넣고 vortex한 후 FACScan(Becton dickinson, U.S.A.)으로 분석하였다(Table 1, Scheme 2).

(3) 免疫細胞 分析

염색이 완료된 세포들을 0.3ml의 staining buffer에 부유시켜 FACS-can (Becton dickinson, U.S.A.)를 이용하여 분석하였다. 검액 당 5000개의 세포에 대하여 list mode로 자료를 취합하였으며, consort 30 프로그램을 이용하여 분석하였다. data의 분석은 forward scatter (FSC)와 side scatter(SSC)의 dual parameter를 이용한 dot plot상에서 전체 비장세포와 small lymphocyte 영역 및 lymphoblast 영역을 구분하여 그 중의 B cell, CD4+, T cell 그리고 Mac-1⁺ cell의 비율(gated, %)을 산출하였다.

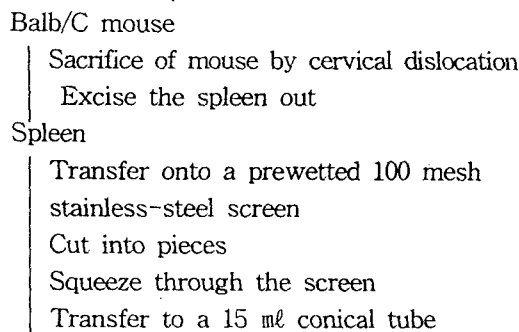
5) 放射線 照射 後 duodenum, jejunum, ileum 細胞 變化

Balb/C 8마리를 1군으로 하여 實驗群은 放射線 照射 前 3일과 照射 後 3일간 檢液(28.13 mg/20g/day)을 생리식염수 0.2ml에 녹여 zonde를 이용하여 經口投與하였고, 對照群은 生理食鹽水를 經口投與한 후 Balb/C 생쥐를 14일째 犠牲시켜 복강을 開腹 후 空腸의 中間部位를 選擇하여 摘出하였으며, 生理的 食鹽水(0.9%)로 水洗한 후 10% 中性 완충 포르말린(NBF)에 48시간 동안 固定하였고 12시간동안 水洗한 후 脱水過程을 거쳐 파라핀에 포매하였다. 組織切片機(Reichert Jung)를 이용하여 포매된 組織을 5μm두께로 자르고 젤라틴이 입혀진 슬라이드에 附着시켰으며, 이를 35°C 슬라이드乾燥器에서 12時間 乾燥시킨 후 一般的인 H-E 染色法으로 染色하였고, 제작된 슬라이드를 光學顯微鏡으로 觀察하였다.

Table 1. Monoclonal antibody used for immunofluorescence staining

Immune cell types	Markers	Monoclonal antibody
T cells	Thy1.2	J1j.10
helper T cells	CD4	G.K.1.5
B cells	CD23	J11d.2
Macrophages	CD11b	M1/70
Second antibody	F(ab')2 FITC- goat anti rat Ig (Tago)	

Scheme 1. Preparation of splenic leukocyte suspension



Keep it for 5 min on ice
 Take the upper layer
 Wash 3 times with buffer
 (PBS w/o Ca²⁺&Mg²⁺)
 Hemolysis with 0.83 % NH₄Cl
 Adjust the cell concentration to 5×10^6 cells/ml
 in 10% FBS-RPMI 1640
 Splenic Leukocyte suspension

Scheme 2. Staining with fluorescein conjugated antibody

Cell culture

Pool the cells into 5 ml tube
 Wash 3 times with the staining buffer
 Resuspend in 0.3ml of the staining buffer
Cell suspension (100μl)

Add 80μl of the primary Ab
 Incubate for 40 min
 Wash 3 times with the staining buffer
mAb-bound cells
 Add 50μl of F(ab')2 fragment of
 FITC-conjugated goat anti-rat Ig
 Incubate for 40min on ice
 Wash 3 times with the staining buffer
 Resuspend in 0.3ml of staining buffer
IF-stained cell

III. 成績

1. 白血球數, 血小板數 및 赤血球數에 미치는 影響

正常群의 白血球數, 血小板數 및 赤血球數는 각각 $4.51 \pm 0.12 (10^3/mm^3)$, $596.91 \pm 24.82 (10^3/mm^3)$, $7.89 \pm 0.45 (10^6/mm^3)$ 인데 比해서 放射線 照射 後 Balb/C의 白血球數, 血小板數 및 赤血球數는

各各 $0.32 \pm 0.07(10^3/\text{mm}^3)$, $200.72 \pm 23.95(10^3/\text{mm}^3)$ 와 $7.09 \pm 0.16(10^6/\text{mm}^3)$ 으로 正常群에 比하여 현저히 減少하였는데, 扶正生津湯을 投與한 實驗群의 경우는 $0.96 \pm 0.16(10^3/\text{mm}^3)$, $503.00 \pm 29.16(10^3/\text{mm}^3)$ 과 $7.64 \pm 0.24(10^6/\text{mm}^3)$ 로 현저히 減少된 對照群에 比하여 白血球數($P < 0.01$), 血小板數($P < 0.001$) 및 赤血球數($P < 0.05$)에 대해서 有意味 있는 增加效果를 나타내었다(Fig. 1~3).

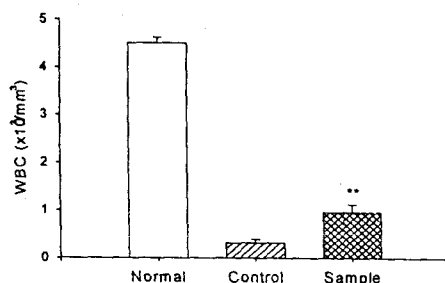


Fig. 1. The effects of BST on the number of white blood cell of Balb/c mice after irradiation.

Control : Saline treated group.

Sample : BST(46.8mg/20g/day) treated group.

Statistically significant value compared with control data (**: $P < 0.01$).

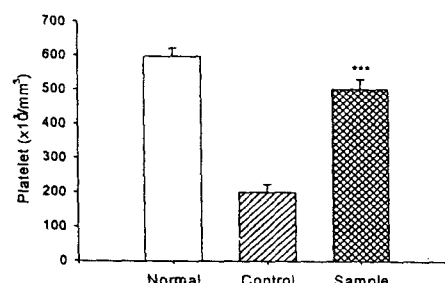


Fig. 2. The effects of BST on the number of platelet of Balb/c mice after irradiation.

Control : Saline treated group.

Sample : BST(46.8mg/20g/day) treated group.
Statistically significant value compared with control data (***: $P < 0.001$).

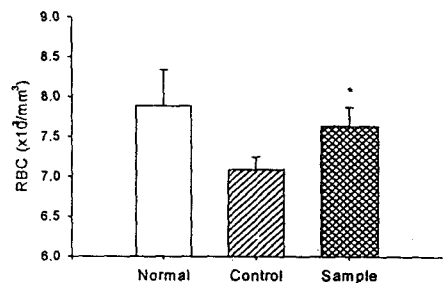


Fig. 3. Table 10. The effects of BST on the number of red blood cell of Balb/c mice after irradiation.

Control : Saline treated group.

Sample : BST(46.8mg/20g/day) treated group.

Statistically significant value compared with control data (*: $P < 0.05$).

2. 脾臟 免疫細胞에 미치는 效果

40cGy 放射線 照射 前後 3日間 檢液을 經口投與한 後 脾臟內의 免疫細胞 變化를 調查한 結果, 大부분의 免疫 細胞가 放射線으로 인하여 細胞數가 크게 減少하여 cell event %가 正常群에 比하여 크게 減少하였다.

먼저 T cell에서 population 變化는 正常群, 對照群 및 扶正生津湯을 投與한 實驗群이 각각 5.16 ± 0.05 , 0.04 ± 0.01 , $0.20 \pm 0.03\%$ 로 나타나 對照群에 比해 有意味($P < 0.001$) 있게 증가하였다(Fig. 4).

T helper cell 變化에서는 positive cell 比率이 각각 6.54 ± 0.02 , 0.12 ± 0.01 , $0.50 \pm 0.04\%$ 로 나타나 對照群에 比해 有意味($P < 0.001$) 있게 증가하였다(Fig. 5).

B cell 變化에서는 positive cell 比率이 각각 51.17 ± 3.12 , 0.10 ± 0.02 , $0.10 \pm 0.02\%$ 로 나타났다.

Macrophage 變化에서는 positive cell 比率이 각각 44.40 ± 1.21 , 0.05 ± 0.006 , $2.50 \pm 0.03\%$ 로 나타나 대조군에 비해 유의성($P < 0.001$) 있게 증가하였다(Fig. 6).

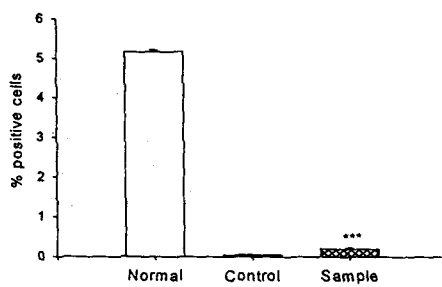


Fig. 4. The FACS effects of BST on T cells of spleen of Balb/C mice after irradiation.

Control : Saline treated group.

Sample : BST(46.8mg/20g/day) treated group.

Statistically significant value compared with control data (***: $P < 0.001$).

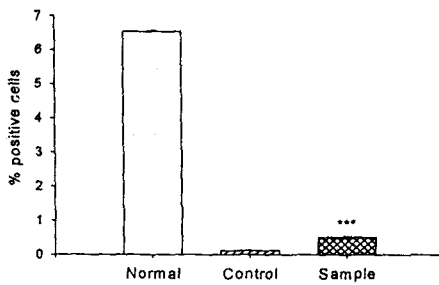


Fig. 5. The FACS effects of BST on T helper cells of spleen of Balb/C mice after irradiation.

Control : Saline treated group.

Sample : BST(46.8mg/20g/day) treated group.

Statistically significant value compared with control data (***: $P < 0.001$).

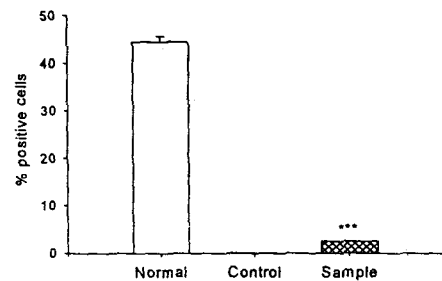


Fig. 6. The FACS effects of BST on macrophage of spleen of Balb/C mice after irradiation.

Control : Saline treated group.

Sample : BST(46.8mg/20g/day) treated group.

Statistically significant value compared with control data (***: $P < 0.001$).

3. duodenum, jejunum, ileum의 組織學的 變化

放射線 照射 程度를 決定하기 위하여 照射 10日 後 實施한 jejunum 組織檢查에서 20, 40, 60cGy 照射 實驗群은 모두 正常群에 비하여 jejunum villi의 脫落이 나타났고, 특히 40, 60cGy에서 jejunum villi의 fusion이 이루어지면서 異狀的인 肥厚 形態가 나타나고 villi 數가 크게 減少하였다(Fig. 9).

이에 40cGy를 實驗 放射線量으로 정한 후 實驗을 實施하였는데 duodenum, jejunum 및 ileum 組織檢查에서 正常群의 crypt값은 각각 40.03 ± 3.74 , 36.17 ± 3.15 , 32.12 ± 2.87 개였는데 比하여 40cGy 照射 前後 3日間 生理食鹽水만 經口投與한 對照群의 crypt값은 각각 19.75 ± 1.11 , 15.75 ± 1.93 , 13.20 ± 1.88 개로써 모두 正常群에 비하여 현저한 脱落이 나타났다. 照射 前後 3日間 生理食鹽水에 檢液을 녹여 經口投與한 實驗群에서는 crypt값이 각각 17.80 ± 1.88 , 26.67 ± 1.65 , 22.83 ± 1.87 개로써 duodenum을 제외한 jejunum 및 ileum의 경우 脱落이 相對的

으로 각각 유의성($P<0.001$, $P<0.01$) 있게 감소하였다. 또한 對照群에서 上皮細胞의 核 윤곽이 뚜렷하지 못하고 核消失이 일어난 반면 實驗群은 이에 비해 뚜렷한 核 윤곽을 觀察할 수 있었다(Fig. 7~8, 10~12).

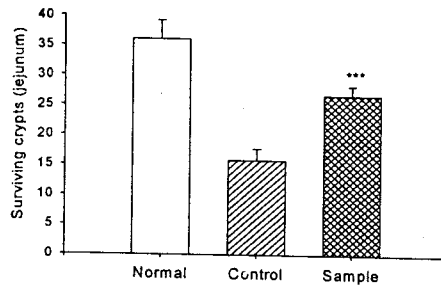


Fig. 7. Proliferating crypt counts of jejunum of Balb/C mice after 40cGy irradiation.

Control : Saline treated group.

Sample : BST(46.8mg/20g/day) treated group.

Statistically significant value compared with control data (***: $P<0.001$).

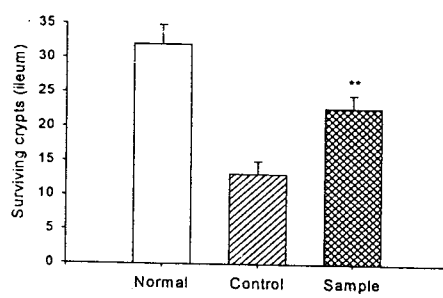


Fig. 8. Proliferating crypt counts of ileum of Balb/C mice after 40cGy irradiation.

Control : Saline treated group.

Sample : BST(46.8mg/20g/day) treated group.

Statistically significant value compared with control data (**: $P<0.01$).

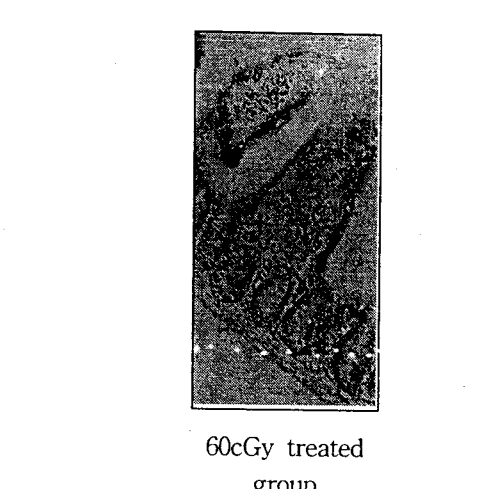
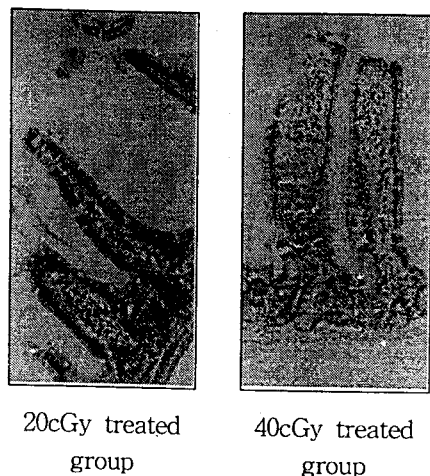
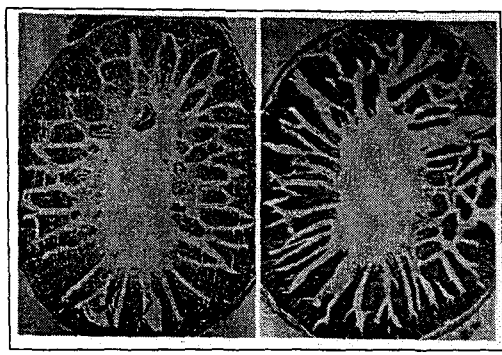
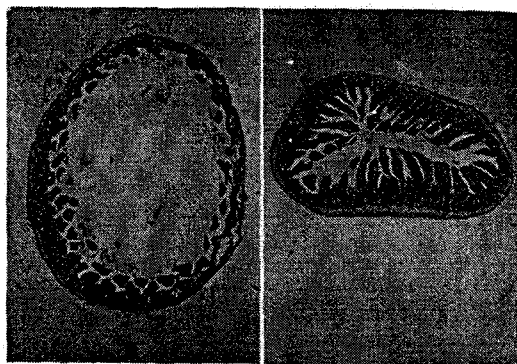


Fig. 9. Histological change of jejunum of Balb/C mouse after 40cGy irradiation.



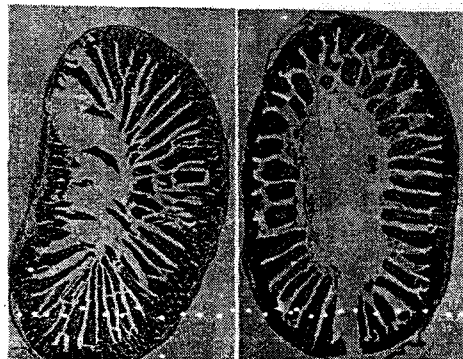
Control group Sample group

Fig. 10. Histological change of duodenum of Balb/C mouse after 40cGy irradiation.



Control group Sample group

Fig. 12. Histological change of ileum of Balb/C mouse after 40cGy irradiation.



Control group Sample group

Fig. 11. Histological change of jejunum of Balb/C mouse after 40cGy irradiation.

IV. 考 察

腫瘍은 個體를 構成하는 正常細胞가 여러 가지 刺激에 의하여 遺傳子의 形質轉換이 發生한 結果, 細胞의 形態學, 生物學, 化學, 物理學, 免疫學的 行動이 變한 形質細胞가 遺傳的으로 代를 이어 無節制한 增殖을 함으로써 形成된 形質細胞集團을 뜻하며, 이를 構成하는 細胞의 形態와 行動樣態에 따라 良性腫瘍과 悪性腫瘍으로 구분하는데, 그 중 悪性腫瘍을 癌이라 한다⁴⁰⁾. 癌細胞는 腫瘍이 發生한 部位에서의 局所 浸潤能力과 遠隔部位로의 轉移能力을 同時에 가지고 있어서 全身 各 臟器나 組織에 轉移所를 만들어 癌患者를 死亡에 이르게 한다⁴¹⁾.

西洋醫學에서 癌治療에는 外科的 手術療法, 放射線療法, 化學療法 및 免疫療法 등을 활용하고 있다. 手術療法은 轉移된 腫瘍의 治療가 不可能하며, 化學療法은 全身的 轉移에 좋은 治療法이 되나 化學藥劑의 腫瘍에 대한 選擇性, 正常 細胞에 대한 毒性 作用의 問題點이

있어 여러 가지 副作用과 合併症이 나타나고 있으며, 免疫療法은 正常 生體內에 이미 存在하는 免疫反應을 이용하여 組織의 損傷을 최소화하는 새로운 治療技法으로서 뛰어난 治療成績을 거두지 못하고 있으나 效果를 增進시키기 위한 새로운 試圖들이 進行되고 있다^{1,2)}.

放射線 治療는 惡性腫瘍 患者的 治療에서 局所的인 腫瘍 除去 方法으로 널리 이용되고 있으며, 그 役割이 점차 확대되면서 放射線 治療에 의한 부작용과 患者的 耐性에 대한 관심이 증가하고 있다^{2,8)}. 특히, 白血球數의 減少에 의한 免疫機能의 低下는 感染症 發生의 우려가 있어 放射線 治療의 期間을 延長시키거나 예정하였던 治療를 마치지 못하는 경우가 發生한다^{8,42)}. 그리고, 放射線 治療에 의해 発생한 免疫機能의 감소가 内部臟器로의 轉移를 증가시킬 수 있다⁴³⁾. 따라서 이러한 放射線療法의 副作用으로부터 正常組織을 保護하는 放射線 防禦劑에 대한 研究가 활발히 進行되고 있다⁴⁻¹¹⁾. 또한 惡性腫瘍에서 低酸素細胞의 比率이 10~15% 정도인 것으로 알려져 있는데, 이러한 低酸素細胞의 存在가 放射線 治療 後 局所 再發의 主된 原因으로 보고 있다^{44,45)}. 低酸素細胞의 放射線에 對한 感受性을 높이기 위한 方법으로는 高壓酸素療法, 高LET放射線治療法, 溫熱治療法, 低酸素細胞 敏感劑療法 등이 있으나 臨床에 適用하기 위해서는 아직 해결해야 할 여러 問題點이 남아 있다⁵⁾.

放射線은 韓醫學의 으로 “火熱毒邪”的 特性이 있으며, 放射線 治療는 體內에 热毒過盛을 誘發하여 津液이 損傷되고 氣血이 損傷되어 脾胃의 기능이 失調하며, 肝腎이 虧損하게 된다^{14,21,22)}. 따라서 放射線療法에 의한 副作用의 治療原則은 主로 清熱解毒, 生津潤燥, 凉補氣血, 健脾和胃, 滋補肝腎, 活血化瘀法 등을 活用하고 있다^{14,21-30)}.

放射線療法과 관련된 最近의 臨床研究를 살펴보면, 放射線治療와 韓藥의 併用 治療時 生存率增加²²⁾, 扶正解毒冲劑의 放射線治療 完成率增加²¹⁾, 當歸補血湯의 骨髓抑制 副作用 輕

減²³⁾, 龍東魚膠丸의 免疫機能增强²⁴⁾, 扶正增效方의 肿塊 消退率增加³⁶⁾ 등의 效果가 있는 것 으로 報告되었다. 實驗的研究로는 十全大補湯^{26,33)}, 茯苓甘草湯²⁶⁾, 小柴胡湯^{26,33)}, 扶正解毒冲劑²¹⁾, 补中益氣湯^{31,33)}, 歸脾湯³⁵⁾, 人參養榮湯³³⁾ 등이 放射線 照射 減毒作用에 效果가 있고, 扶正增效方^{36,37)}, 希力新沖劑²¹⁾ 등은 放射線 照射 增敏作用에 效果가 있는 것으로 報告되었다. 國內에서 李⁴⁶⁾는 數種의 韓藥劑가 生쥐의 骨髓 및 脾臟細胞의 造血促進과 放射線 防禦에 미치는 影響을 報告하였고, 李⁴⁷⁾는 鹿茸, 黃芪, 當歸水鍼, 鄭⁴⁸⁾은 魚腥草藥針 등이 放射線 照射에 의한 免疫機能 低下에 미치는 影響을 報告하였고, 李³¹⁾은 补中益氣湯과 四六湯의 放射線 照射 後 *in vitro*에서 마우스의 脾臟細胞 增殖效果를 觀察하였으며, 金³²⁾은 加味地黃湯, 加味四君子湯, 加味君子地黃湯의 脾臟 免疫細胞 變化와 jejunum의 組織學의 變化를 觀察하여 放射線 副作用 減少效果를 報告하였다. 그리고, 이에 대한 韓藥劑의 研究는 扶正培本을 為主로 人體의 免疫機能 改善과 造血機能을 促進시키는 放射線 副作用의 減毒作用에 對한 研究^{21-25,30)}와 活血化瘀藥으로 微循環 改善과 血流量을 增加시키는 放射線 增敏作用에 對한 研究^{36,37)}가 試圖되고 있다.

扶正生津湯은 大田大學校 附屬 韓方病院 癌크리닉에서 放射線 治療시에 나타나는 各種 副作用 減少를 目的으로 활용되고 있는 放射線 1號方³⁸⁾에 補氣의 目的으로 黃芪를 增量한 것으로, 沙蔴麥門冬湯을 基本方으로 石斛, 柏杞子, 黃芪, 鷄血藤, 紅花, 竹茹, 砂仁 등이 加味된 處方이다.

이에 著者는 扶正生津湯의 放射線 照射 副作用 減少效果를 檢證하기 為하여 本 實驗을 試圖하였다.

放射線 照射時 造血器官은 人體內에서 가장 敏感한 臟器中의 하나로 알려져 있으며 放射線 照射로 인한 末梢 血液內 淋巴球 減少는 免疫抑制를 起起시킬 수 있다. 또한 免疫缺損

은 癌 患者에 있어 治療反應과豫候에 影響을 미치는 것으로 알려져 있다^{8,11,42,49-53)}.

腫瘍免疫에서 主役割은 T 림프구 細胞에 의한 細胞性 免疫反應으로 알려져 있다. 림프구는 末梢血液 白血球中 正常에서는 약 20%를 차지하며 機能上 대개 T 림프구, B 림프구 및 null 細胞로 分類하고 있다⁵⁴⁾. 放射線治療가 림프구 數의 減少를 招來하고 T 림프구의 機能을 低下시키는 것은 이미 밝혀져 있는데, 人體에서도 放射線에 依하여 T 림프구 數의 유의한 減少가 報告되고 있으며 특히 T 세포 아형 중에서 많은 비중을 차지하고 있는 助力誘發 T 細胞와 抑制誘發 T細胞가 影響을 받는다⁵⁵⁾.

脾臟은 生殖와 기타 動物에서 造血機能(hematopoiesis)의 主要 部位이며, 免疫細胞를 위주로 한 血球와 血小板의 貯藏器官으로 알려져 있다⁵⁶⁾. 사람에 있어서는 成人の 경우 造血機能이 대부분 骨髓에서 일어나지만, 胎兒期 때나 骨髓의 非正常的擴張에 의한 疾患의 경우 脾臟에서도 造血作用이 일어난다⁵⁶⁾. 이러한 까닭에 實驗動物에서의 脾臟은 免疫機能과 造血機能의 實驗材料로서 適切하게 여겨지고 있다. 따라서, 本 實驗에서는 流細胞分析(FAC Scan)에 의한 脾臟內의 免疫細胞變化를 觀察한 결과 大部分의 免疫細胞가 放射線으로 인하여 細胞數가 크게 減少하여 cell event가 正常群에 比하여 크게 減少하였다.

扶正生津湯을 投與한 實驗群에서 T cell과 T helper cell의 positive cell 比率이 增加하였고, B cell의 positive cell 比率은 變化가 나타나지 않았으며, macrophage의 positive cell 比率은 對照群에 比하여 현저히 增加하였다(Fig. 4~6). 따라서, 扶正生津湯은 T cell, T helper cell의 活性을 增加시키는 免疫細胞活性增加作用을 나타낸 것으로 생각되며, 이는 扶正生津湯이 放射線照射로 인한 림프구 減少를改善시켜 特異的 免疫反應에 作用했음을 알 수 있다.

血球 檢查에서는 放射線 照射로 對照群의 白血球數, 赤血球數 및 血小板數가 顯著히 減少하였으나 扶正生津湯을 投與한 實驗群은 白血球數, 血小板數 및 赤血球數에 대해서 有意味 있는 增加效果를 나타내었다(Fig. 1~3). 이는 扶正生津湯이 放射線 照射로 低下된 造血機能을 改善시키는 것을 알 수 있다.

放射線 照射로 인한 細胞損傷은 小腸 粘膜細胞와 같이 주로 빠르게 增殖하는 細胞들에서 일어나는데 腹部와 骨盤周圍의 放射線治療時 急, 慢性 腸炎 등과 같은 합병증이 빈번히 誘發되게 한다⁵⁷⁾. Jensen 등⁵⁷⁾은 小腸에 17~21Gy의 放射線을 單一 照射한 後 나타나는 組織病理學的 所見을 粘膜潰瘍, 表皮細胞의 非定型性, 小腸壁의 肥厚 등이 나타나는 急性所見과, 이차적인 반응으로 생긴 血管壞死, 纖維化, 림프선부종 등의 慢性所見으로 구별하여 報告하였다. 本 實驗에서는 放射線 照射에 의한 duodenum, jejunum, ileum 組織의 損傷과 扶正生津湯을 투여한 實驗群의 變化를 觀察하였다.

放射線 照射 程度를 決定하기 위한豫備 實驗으로 照射 10日後 가장 敏感한 組織中의 하나로 알려진 jejunum의 組織學的 變化를 一般光學顯微鏡으로 관찰하는데, 20, 40, 60cGy 照射 實驗群은 모두 正常群에 比하여 jejunum villi의 脫落이 나타났고, 특히 40, 60cGy에서는 villi의 脫落과 함께 jejunum villi의 fusion이 이루어지면서 異狀의形態가 나타나고 數가 크게 減少하였다(Fig. 9).

이에 40cGy를 實驗 放射線量으로 정한 후 實驗을 實施한 바, duodenum, jejunum 및 ileum 組織檢査에서 生理食鹽水만 經口投與한 對照群의 crypt數은 正常群에 比하여 현저한 脫落이 나타난 반면, 放射線 照射 前後 3日間 扶正生津湯을 經口投與한 實驗群에서는 duodenum을 제외한 jejunum 및 ileum의 경우 脫落이 相對적으로 有意性 있게 감소하였다. 또한 對照群에서 上皮細胞의 核 윤곽이 뚜렷하지 못하고 核消失이 일어난 반면, 實驗群은

이에 비해 뚜렷한 핵 윤곽을 관찰할 수 있었으나 duodenum의 경우는 큰 차이를 발견할 수 없었다(Fig. 7~8, 10~12).

以上의 결과로 보아 扶正生津湯이 放射線照射後의 血液學的 變化 및 免疫細胞 變化에서 造血機能改善과 免疫細胞活性의 增加作用을 나타냈고, 小腸의 細胞 損傷을 減少시키는 것으로 밝혀져 放射線治療時에 나타나는 副作用 減少에 活用할 수 있을 것으로 생각되며, 앞으로 放射線의 感受性 增加效果와 併用投與時의 抗癌治療效果增進作用에 對한研究가 뒤따라야 할 것으로 料된다.

V. 結論

扶正生津湯의 放射線副作用 減少效果를 檢證하기 為하여 血液變化, 免疫細胞 類型에 미치는 效果, duodenum, jejunum, ileum의 細胞學的 變化 등을 測定해 본 結果, 다음과 같은 結論을 얻었다.

- 放射線照射後의 血液學的 變化는 顯著히 減少된 對照群에 비하여 扶正生津湯을 投與한 實驗群의 白血球數, 血小板數 및 赤血球數가 有意性 있게 增加하였다.
- 放射線照射後의 脾臟免疫細胞 變化는 顯著히 減少된 對照群에 비하여 實驗群의 T cell, T helper cell 및 macrophage가 增加되었다.
- 放射線照射後의 光學顯微鏡에 의한 小腸의 紡織學的 變化에서는 對照群에 比하여 實驗群에서 duodenum을 除外한 jejunum과 ileum의 crypts의 脫落과 fusion이 有意性 있게 감소하였다.

以上의 結果로 보아, 扶正生津湯은 放射線治療와 併用時 副作用 減少와 免疫機能 回復에 活用 可能할 것으로 思慮된다.

參考文獻

- 서울대학교 의과대학 : 종양학, 서울, 서울대학교출판부, pp.214~217, 225~234, 226~232, 1989.
- 해리슨 번역 편찬위원회 : HARRISIN'S 내과학, 서울, 도서출판 정담, p.1963, p.1978~1980, 1997.
- Burnett, F.M. : The concept of immunological surveillance. *Prog. Exp. Tumor Res.*, 13:1~43, 1970.
- 안성자 외 : 방사선 치료환자에 있어서 Thymulin 병용시 면역기능 활성에 관한 연구, 대한암학회지, 27(5):790~796, 1995.
- 조문준 외 : Ginkgo biloba extract가 방사선에 의한 C3H 마우스 섬유육종의 종양성장지연에 미치는 영향, 대한암학회지, 27(3):482~489, 1995.
- 권형철 외 : 방사선 치료에 따른 암환자의 말초혈액 T 및 B 림프구의 분포 및 기능 변화, 대한암학회지, 24(1):64~72, 1991.
- 김성숙 외 : 백서 소장조직에서의 방사선 조사에 의한 Apoptosis와 Cytokine의 발현, 대한암학회지, 29(6):921~929, 1997.
- 최영민 외 : 악성 종양 환자에서 방사선 치료 전, 후의 림프구 아형 분석, Korean Soc. Ther. Oncol., 14(3):229~236, 1996.
- 유정현 외 : 방사선 조사후 백서 소장점막에서 발생하는 신호전달체계에 관한 연구, Korean Soc. Ther. Oncol., 15(2): 79~95, 1997.
- 신경환 외 : Ginkgo Biloba Extract가 마우스 피부 및 공장 소낭선의 방사선감수

- 성에 미치는 영향, Korean Soc. Ther. Oncol., 16(2):107~114, 1998.
11. Makinodan, T. and James, S.J. : T cell potentiation by low dose ionizing radiation. Health Physics., 59:29~34, 1990.
 12. 河北中醫學院 : 靈樞經校釋, 人民衛生出版社, 上卷 p.78,219, 下卷 p.37, 48, 142, 255, 326, 391, 1982.
 13. 楊維傑 : 黃帝內經素問解釋, 서울, 成輔社, p.3, 266, 1980.
 14. 李佩文 等 : 中西醫臨床腫瘤學, 北京, 中國中醫藥出版社, p.11, 103, 118, 126, 244, pp.141~143, 1996.
 15. 孟琳升 等 : 中醫治癌大成, 北京, 北京科學技術出版社, p.9, 18, 20, pp.130~143, 152~157, 206~210, 233~234, 1997.
 16. 郁仁存 : 中醫腫瘤學, 北京, pp.2~11, 13 1~135, 166~171, 1992.
 17. 巢元方 : 巢氏諸病源候論, 台中, 昭人出版社, pp.6~12(卷19), 11~16(卷37), 1958.
 18. 葉銘洪 : 治癌中藥及處方, 臺北, 花聯出版社, pp.1~10, 1986.
 19. 方藥中 : 實用中醫內科學, 上海, 上海科學技術出版社, pp.12~16, 621~635, 1986.
 20. 余桂清 : 歷代中醫腫瘤案論選粹, 北京, 北京出版社, pp.1~2, 1988.
 21. 張代釗 외 : 癌症放化療副反應的中醫藥防治研究, 中醫雜志, 35(8): 498~500, 1994.
 22. 余桂清 외 : 中醫藥對腫瘤放化療的增效減毒作用, 中國中西醫結合雜誌, 12(3):335~338, 1992.
 23. 劉振學 : 當歸補血湯對減輕放化療骨髓抑制的初步觀察, 實用中西醫結合雜誌, 6(3):166, 1993.
 24. 張珊文 : 龍東魚膠丸對放療後腫瘤患者免疫功能的影響, 實用中西醫結合雜誌, 15(10):627, 1995.
 25. 李京 외 : 扶正固本中藥對晚期惡性腫瘤放化療增效減毒作用的臨床觀察, 中國中西醫結合雜誌, 14(6):364~365, 1994.
 26. 彭平建 : 中醫藥增效減毒在腫瘤放化療中的研究應用, 吉林中醫藥, 5:43~44, 1994.
 27. 鄭斐璇 외 : 放射加中藥治療鼻咽癌生存五年以上200例療效分析, 新中醫, 22(9):35~37, 1990.
 28. 李秋貴 외 : 中醫藥配合放療證治規律的探討, 中醫雜誌, 28(5):28~30, 1987.
 29. 史恒軍 외 : 吳一純防治腫瘤放化療後副反應的經驗, 遼寧中醫雜誌, 20(11) :11~12, 1993.
 30. 邱琴珠 : 治療癌症放療後血白細胞下降的體會, 浙江中醫雜誌, 1:36, 1991.
 31. 李綾基 등 : 放射線 照射後의 N:GP(S) mouse 脾臟細胞增殖에 미치는 补中益氣湯과 四六湯의 效果, 大韓韓方腫瘍學會誌, 2(1):91~100, 1996.
 32. 金東熙 : 加味地黃湯, 加味四君子湯 및 加味君子地黃湯의 抗腫瘍活性와 放射線 副作用 減少 效果, 大田大學 大學院 博士 學位論文, 1998.
 33. Hosokawa, Y. : Radioprotective effects of Chinese medicinal prescriptions in mice. J. Medical and Pharmaceutical Society for Wakan-Yaku, 3:164~169, 1986.
 34. Hsu, H.Y., Hau, D.M. and Lin, C.C. : Effects of Jen-Sheng -Yang-Yung-Tang on cellular immunocompetence of γ -irradiated mice. American J. Chinese medicine, 11(3~4) :269~277, 1993.
 35. Hsu, H.Y., Hau, D.M. and Lin, C.C. : Effects of Kuei-Pi-Tang on cellular immunocompetence of γ -irradiated mice. American J. Chinese medicine, 11(2):15 1~158, 1993.
 36. 張代釗 외 : 扶正增效方對肺癌放射增效作用的臨床觀察和實驗研究, 第七屆全國中西醫結合腫瘤學術研討會, pp.45~47, 1996.

37. 張華麗 외 : 扶正增效方對惡性腫瘤放射增效作用的臨床和實驗研究, 中醫雜志, 6:2 5~29, 1990.
38. 大田大學校附屬韓方病院 : 韓方病院處方集, 大田, 韓國出版社, p.361, 1997.
39. 金井 泉 외 : 臨床検査法提要, 서울, 高文社, p.242, 249, 1984.
40. 대한병리학회 편 : 병리학, 서울, 고문사, p.225, 1990.
41. Fidller, I. J. : Review biologic heterogeneity of cancer metastasis. Breast Cancer Res., 9:17, 1987.
42. 권영철 외 : 방사선 치료에 따른 암환자의 말초혈액 T 및 B 림프구의 분포 및 기능변화, 대한암학회지, 24(1):64~72, 1991.
43. Mayer, K.K. : Radiation induced lymphocyte immune deficiency. Arch. Surg., 101:114~120, 1970.
44. Moulder, J.E. and Rockwell, S. : Hypoxic fractions of solidtumors. Int. J. Radiat. Oncol. Biol. Phys., 10:695, 1984.
45. Denekamp, J., Fowler, J. F. and Dische, S., : The proportion of hypoxic cells in a human tumor. Int. J. Radiati. Oncol. Biol. Phys., 2:1227, 1977.
46. 李綾基 : 數種韓藥材가 생쥐의 骨髓 및 脾臟細胞의 造血促進과 放射線防禦에 미치는 影響, 慶熙大學校 大學院 碩士學位論文, 1996.
47. 李栽東 : 鹿茸, 黃芪, 當歸水鍼이 放射線 被曝에 의한 免疫機能 低下에 미치는 影響, 慶熙大學校 大學院 博士學位論文, 1993.
48. 鄭昇杞 : 魚腥草藥針이 放射線 被曝에 의한 免疫機能 低下에 미치는 影響, 大韓韓醫學會誌, 18(2):97~107, 1997.
49. Lichtman, M. : The ultrastructure of the hemopoietic environment of the bone marrow. A Rev. Exp. Hematol., 9:391 ~410, 1981.
50. Yarilin, A.A. : Action of ionizing radiation on lympho- cytes(inhibition and activation effects). Immunology, 5: 5~11, 1988.
51. Kalechman, Y., Albeck, M., Oron, M., Sobelman, D., Gurwith, M., Seghal, S.N. and Sedni, B. : Radioprotective effects of the immunomodulator A101. J. Immunol., 145:1512~1527, 1990.
52. Liebmann, J., DeLuca, A.M., Epstein, A., Steinberg, S.M., Morstyn, G. and Mitchell, B. : Protection from lethal irradiation by the combination of stem cell factor and tempol. Rad. Res., 137:400~404, 1994.
53. Olden, K., Breton, P., Grzegorzewski, K., Yasuda, T., Gause, B., Oredipe, O.A., Newton, S.A. and White, S.L. : The potential importance of swanisonine in therapy for cancers and immunology. Pharmac. Ther., 50:285~290, 1991.
54. Hsu, H.Y., Hau, D.M. and Lin, C.C. : Effects of Kuei-Pi-Tang on cellular immunocompetence of γ -irradiated mice. American J. Chinese medicine, 11(2):15 1~158, 1993.
55. Schulof, R.S., Chorba, T.L., Cleary, P.A., Palaszynski, S.R., Alabaster, O. and Goldstein, A.L. : T-cell abnormalities after mediastinal irradiation for lung cancer. Cancer, 55:974, 1985.
56. 성호경 외 : 生理학 제5판, 의학문화사, pp.94~106, 1991.
57. Jensen, M. H., Sauer, T., Devik, F. and Nygaard, K. : Late changes following single doses roentgen irradiation of rat small intestine. Acta. Radiol. Oncol., 22:299~303, 1983.

ABSTRACT

Study on Radioprotective Effects of Bujeongsaengjintang

Kim Jong-dae* . Cho Chong-kwan

Dept. of Internal Medicine, College of Oriental Medicine, Dong Guk University*

Dept. of Internal Medicine, College of Oriental Medicine, Tae Jon University

To evaluate the radioprotective effects of Bujeongsaengjintang studies were done experimentally.

The results were obtained as follows :

1. WBC, Platelet and RBC were significantly increased in Bujeongsaengjintang treated group as compared with control group after exposure to radiation by Liniac.
2. By FACS analysis of splenic leukocyte after exposure to radiation by Liniac, T cell, T-helper cell and macrophage were significantly increased in Bujeongsaengjintang treated group.
3. In histological changes of ileum and jejunum of Balb/C mice after exposure to radiation by Liniac, exclusion and fusion of villi were decreased in Bujeongsaengjintang treated group as compared with control group.

From above results, it is suggested that Bujeongsaengjintang is available to a clinic for the protection from damage by radiotherapy to cancer.

Key words : Bujeongsaengjintang, radiation, radioprotection, splenic leukocyte, villi